

УДК 539.3

©2009. О.Д. Смоктий

## КРАЕВОЙ РЕЗОНАНС ПРИ СИММЕТРИЧНЫХ КОЛЕБАНИЯХ ТРАНСВЕРСАЛЬНО-ИЗОТРОПНОГО ПОЛУСЛОЯ СО СВОБОДНЫМИ ГРАНЯМИ

Рассмотрена задача определения частот краевого резонанса при симметричных по толщине колебаниях трансверсально-изотропного полуслоя со свободными плоскими гранями. Описан алгоритм применения в рассматриваемой задаче метода рядов по базисной системе динамических однородных решений. Рассчитаны значения приведенных частот краевого резонанса для ряда трансверсально-изотропных материалов с различными показателями волновой анизотропии, а также значения верхних границ частотных интервалов, априори содержащих частоту краевого резонанса. Рассчитаны и проанализированы амплитудные формы колебаний приторцевой зоны трансверсально-изотропных полуслоев на частотах краевого резонанса и на частотах, близких к первой ненулевой частоте запираения нормальных бегущих P-SV волн для рассматриваемых полуслоев.

**Введение.** Различные аспекты явления краевого резонанса при установившихся упругих колебаниях изотропного полуслоя (полуполосы) исследованы и обобщены в работах [1–9, 12]. Применительно к полуслою с начальными деформациями в толщинном направлении и смешанными краевыми условиями на плоских гранях особенности проявления краевого резонанса описаны в публикации [11]. Данная работа посвящена анализу отдельных характеристик краевого резонанса для ранее не исследованного случая возбуждения симметричных по толщине колебаний в трансверсально-изотропном полуслое со свободными от напряжений плоскими гранями.

**1. Постановка задачи.** Рассматривается трансверсально-изотропный полуслой с нормированными упругими постоянными  $c_{ij}$ , занимающий в системе безразмерных прямоугольных координат  $Ox_1x_2x_3$  область:

$$V = \{0 \leq x_1 < +\infty, -\infty < x_2 < +\infty, -h \leq x_3 \leq h\}. \quad (1)$$

Плоские грани полуслоя свободны от механических напряжений

$$\sigma_{3j}|_{x_3=\pm h} = 0, \quad j = \overline{1, 3} \quad (2)$$

Колебания полуслоя инициируются приложенными на боковой поверхности симметричными по его толщине внешними нормальными усилиями либо обусловлены действием уединенной гармонической бегущей нормальной волны, принадлежащей некоторой моде дисперсионного спектра и падающей на боковую поверхность из глубины полуслоя. В общем случае граничные условия на боковой поверхности полуслоя  $x_1 = 0$  для комплексных амплитудных характеристик тензора динамических напряжений имеют вид

$$\sigma_{11}|_{x_1=0} = \chi(x_3), \quad \sigma_{13}|_{x_1=0} = \zeta(x_3), \quad x_3 = [-h, h], \quad (3)$$

где

$$\chi(x_3) = \chi(-x_3), \quad \zeta(-x_3) = -\zeta(x_3).$$

Сформулированная таким образом краевая задача описания и анализа поля упругих волн P-SV типа в рассматриваемом полуслое исследуется далее в работе на основе метода рядов по базисным однородным решениям (метода разложения характеристик искомого волнового поля по базисной системе бегущих и краевых стоячих нормальных волн).

**2. Форма численно-аналитического решения краевой задачи.** На основе общей схемы применения метода рядов по базисным динамическим однородным решениям [10] комплексные амплитудные характеристики исследуемого волнового поля в области  $V$  – амплитудные функции волновых упругих перемещений и динамических напряжений на боковой поверхности полуслоя, представляются в виде:

$$\begin{aligned} u_1 &= \sum_{p=1}^{\infty} B_p \tilde{\Theta}_p(\gamma_p, x_3), \quad u_2 \equiv 0, \quad u_3 = \sum_{p=1}^{\infty} B_p \tilde{M}_p(\gamma_p, x_3), \\ \sigma_{11} &= \sum_{p=1}^{\infty} B_p \tilde{\Phi}_p(\gamma_p, x_3), \quad \sigma_{13} = \sum_{p=1}^{\infty} B_p \tilde{\Psi}_p(\gamma_p, x_3). \end{aligned} \quad (4)$$

Суммирование в представлениях (1) осуществляется по упорядоченному множеству волновых чисел – корней дисперсионного уравнения для симметричных нормальных P-SV волн в трансверсально-изотропном полуслое. Для образующих это множество действительных значений  $\gamma_p$  ( $Re(\gamma_p) > 0$ ) и мнимых значений  $\gamma_p$  ( $Im(\gamma_p) > 0$ ) имеем

$$\begin{aligned} \tilde{\Theta}(\gamma_p, x_1, x_3) &= \Theta(\gamma_p, x_3) e^{i\gamma_p x_1}, \quad \tilde{M}(\gamma_p, x_1, x_3) = M(\gamma_p, x_3) e^{i\gamma_p x_1}, \\ \tilde{\Phi}(\gamma_p, x_1, x_3) &= \Phi(\gamma_p, x_3) e^{i\gamma_p x_1}, \quad \tilde{\Psi}(\gamma_p, x_1, x_3) = \Psi(\gamma_p, x_3) e^{i\gamma_p x_1}, \end{aligned}$$

а для входящих в указанное множество комплексных значений  $\gamma_p$  ( $Re(\gamma_p) > 0$ ,  $Im(\gamma_p) > 0$ )

$$\begin{aligned} \tilde{\Theta}(\gamma_p, x_1, x_3) &= \Theta(\gamma_p, x_3) e^{i\gamma_p x_1} + \Theta(-\bar{\gamma}_p, x_3) e^{-i\bar{\gamma}_p x_1}, \\ \tilde{M}(\gamma_p, x_1, x_3) &= M(\gamma_p, x_3) e^{i\gamma_p x_1} + M(-\bar{\gamma}_p, x_3) e^{-i\bar{\gamma}_p x_1}, \\ \tilde{\Phi}(\gamma_p, x_1, x_3) &= \Phi(\gamma_p, x_3) e^{i\gamma_p x_1} + \Phi(-\bar{\gamma}_p, x_3) e^{-i\bar{\gamma}_p x_1}, \\ \tilde{\Psi}(\gamma_p, x_1, x_3) &= \Psi(\gamma_p, x_3) e^{i\gamma_p x_1} + \Psi(-\bar{\gamma}_p, x_3) e^{-i\bar{\gamma}_p x_1}. \end{aligned}$$

Здесь

$$\begin{aligned} \Phi_p(\gamma_p, x_3) &= c_{13} f_{3p}'(x_3) - c_{11} \gamma_p^2 f_{1p}'(x_3), \quad \Psi_p = c_{44} i \gamma_p (f_{3p}'(x_3) + f_{1p}'(x_3)), \\ \Theta_p &= i \gamma_p f_{1p}(x_3), \quad M_p = f_{3p}(x_3), \\ f_{1p}(x_3) &= \alpha_{2p} \cos(\sigma_1^{(p)} x_3) - \alpha_{1p} \cos(\sigma_2^{(p)} x_3), \quad \alpha_{1p} = (\kappa_{1p} - \sigma_1^{(p)}) \sin \sigma_1^{(p)} h, \\ f_{3p}(x_3) &= \alpha_{2p} \kappa_{1p} \cos(\sigma_1^{(p)} x_3) - \alpha_{1p} \kappa_{2p} \cos(\sigma_2^{(p)} x_3), \quad \alpha_{2p} = (\kappa_{2p} - \sigma_2^{(p)}) \sin \sigma_2^{(p)} h. \end{aligned}$$

Для нахождения неизвестных произвольных коэффициентов  $B_p$  в редуцированных рядах (3) в реализуемом исследовании используется метод наименьших квадратов, в соответствии с которым искомые величины определяются из системы линейных алгебраических уравнений

$$\begin{aligned} \sum_{p=1}^N B_p \int_{-h}^h (\tilde{\Phi}_p(\gamma_p, 0, x_3) \overline{\tilde{\Phi}_j}(\gamma_j, 0, x_3) + \tilde{\Psi}_p(\gamma_p, 0, x_3) \overline{\tilde{\Psi}_j}(\gamma_j, 0, x_3)) dx_3 = \\ = \int_{-h}^h (\overline{\tilde{\Phi}_j}(\gamma_j, 0, x_3) \chi(x_3) + \overline{\tilde{\Psi}_j}(\gamma_j, 0, x_3) \zeta(x_3)) dx_3, \quad (j = \overline{1, N}), \end{aligned} \quad (5)$$

в которой  $N$  – количество слагаемых в рассматриваемом представлении исследуемого волнового поля по системе базисных нормальных волн. Для интегралов в соотношении (5) после соответствующих преобразований получены явные аналитические представления.

Для исследования специфики проявления краевого резонанса в рассматриваемом полуслое используются приемы варьирования вида функций, характеризующих внешние гармонические воздействия, варьирования частотного параметра и последующего выявления случаев выраженной локализации волнового поля вблизи боковой поверхности полуслоя  $x_1 = 0$ .

При исследовании варианта рассматриваемой задачи, в котором колебания полуслоя обусловлены падающей из его глубины нормальной волной, в качестве предварительного вспомогательного этапа анализа частот краевого резонанса в настоящей работе применена методика определения специальных критических значений угла падения  $\alpha$  парциальной SV-составляющей бегущей нормальной волны низшей моды, при котором угол отражения  $\beta$  парциальной P-составляющей этой волны от свободного торца полуслоя равен нулю [5, 6]. Частотная зависимость для искомого критического значения определяется соотношением  $k_1 \cos \alpha = k_2 \cos \beta$ , в котором  $k_1$  и  $k_2$  – соответственно волновые числа для парциальной SV-составляющей падающей волны и P-составляющей отраженной от торца нормальной волны. В итоге частота, соответствующая искомому критическому углу падения, вычисляется как корень нелинейного алгебраического уравнения  $\cos \alpha = \text{Re} \sigma_1^{(1)} / (\gamma_1^2 + (\text{Re} \sigma_1^{(1)})^2)^{1/2}$ , где  $\gamma_1(\Omega)$  – волновое число (действительнозначный корень дисперсионного уравнения) для распространяющейся нормальной волны низшей моды.

**3. Результаты численных исследований.** В процессе численных исследований анализ эффекта краевого резонанса для трансверсально-изотропного полуслоя был осуществлен на основе результатов решения задачи о колебаниях полуслоя при внешнем гармоническом нагружении вида (3) с амплитудными характеристиками

$$\chi(x_3) = \cos(\pi x_3), \quad \zeta(x_3) = 0. \quad (6)$$

Был реализован также поиск значений приведенной частоты, ограничивающей сверху частотный диапазон возникновения краевого резонанса, на основе анализа задачи о падении бегущей нормальной волны низшей моды на свободный торец полуслоя из его глубины.

В качестве нормирующего параметра для координат и амплитудных характеристик упругих перемещений выбиралось значение полутолщины  $h$  рассматриваемого тела.

В процессе расчетов установлено, что оптимальным для получения контрастной картины проявления краевого резонанса является задание в (3) самоуравновешенного нормального нагружения, для которого

$$\int_{-h}^h \chi(x_3) dx_3 = 0, \quad \int_{-h}^h \zeta(x_3) dx_3 = 0. \quad (7)$$

В работе рассмотрены случаи возбуждения колебаний в полуслое из ряда конкретных конструкционных материалов. Достоверность проведенных численных исследований контролировалась, в частности, сравнением результатов использования разработанного алгоритма применительно к изотропному полуслою с коэффициентом Пуассона  $\nu = 0.31$  с результатами, полученными для данного варианта задачи в работах Городецкой, Гринченко, Мелешко [3, 5, 6, 9].

В частности, при исследовании рассматривались материалы, волноводные свойства которых характеризуются различными альтернативными величинами так называемого приведенного параметра волновой анизотропии  $\Delta$  [10], значение которого определяет особенности структуры дисперсионного спектра нераспространяющихся нормальных волн в соответствующих волноводах. Так для полуслоя из материалов  $BaTiO_3$ ,  $PbTiO_3$  значение параметра  $|\Delta|$  близко к нулю, вследствие чего эти материалы характеризуются малой волноводной анизотропией. Для полуслоя из монокристалла  $Co$  параметр  $\Delta$  принимает большое положительное значение, чему соответствует дисперсионный спектр, в котором краевые стоячие волны описываются преимущественно комплексными ветвями. Для полуслоя из монокристалла  $\beta$ -кварца параметр  $\Delta$  имеет отрицательное значение, и в этом случае краевые стоячие волны практически полностью принадлежат мнимым модам. Для характеристики частоты краевого резонанса используется приведенный параметр вида  $\Omega = \tilde{\Omega}/\tilde{\Omega}_{*1}$ , где  $\tilde{\Omega} = \rho\omega^2 h^2/c_*$ ,  $\tilde{\Omega}_{*1}$  – значение первой ненулевой безразмерной частоты запираения нормальных P-SV волн в рассматриваемом полуслое,  $\rho$  – плотность материала полуслоя ( $\text{кг/м}^3$ ),  $h$  – полутолщина слоя (м),  $c_* = 10^{10}$  Па.

На основе проведенных расчетов получено подтверждение того факта, что частота краевого резонанса  $\Omega_e$  для трансверсально-изотропного полуслоя также находится в интервале, ограниченном сверху частотой, соответствующей критическому углу падения парциальной SV-составляющей в бегущей волне низшей моды с нулевой частотой запираения на свободный торец полуслоя.

Результаты расчетов представлены в таблице.

Характеристики явления краевого резонанса.

Тип материала полуслоя	Значение критического угла $\alpha$ падения SV-составляющей нормальной волны на торцевую поверхность полуслоя, рад	Приведенное значение частотного параметра, соответствующего критическому углу падения $\alpha$	Приведенная частота краевого резонанса $\Omega_e$
Изотропный, $\nu = 0.31$	1,01840	0,962230	0,862963
$BaTiO_3$	1,02999	0,928078	0,828000
$PbTiO_3$	0,87000	0,996429	0,905000
$\beta$ -кварц	0,91899	0,959505	0,874194
$Co$	0,93299	0,982379	0,851724
$Ni$	1,01799	0,900272	0,807407

Важным аспектом исследования специфики краевого резонанса является анализ форм колебаний приторцевой зоны полуслоя на частоте краевого резонанса  $\Omega_e$  и при частотах, отличающихся от  $\Omega_e$ . Так на рис. 1 представлена амплитудная форма колебаний зоны вблизи торца изотропного полуслоя при крайнем резонансе, а на рис. 2, 3, 4 – аналогичные формы для полуслоя из нескольких трансверсально-изотропных материалов.

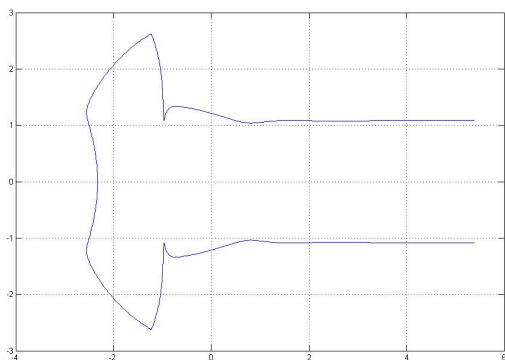


Рис. 1. Изотропный полуслой,  $\nu = 0.31$

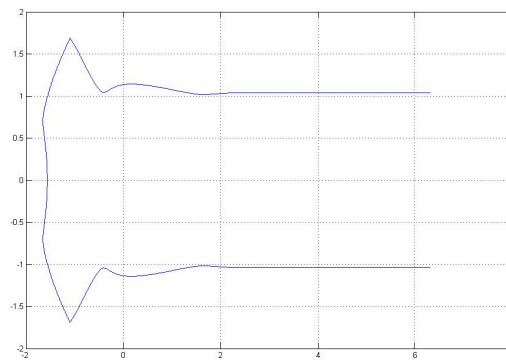


Рис. 2. Полуслой из керамики  $BaTiO_3$

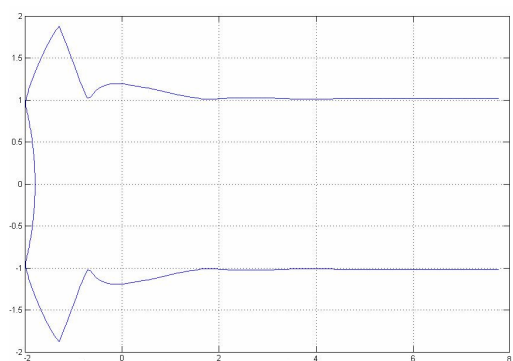


Рис. 3. Полуслой из  
монокристалла  $\beta$ -кварца

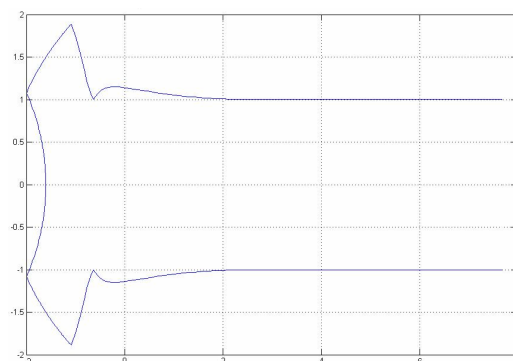


Рис. 4. Полуслой из монокристалла  $Co$

Для характеристики контрастности явления краевого резонанса на рис. 5, 6, 7, 8 показаны амплитудные формы колебаний приторцевой зоны полуслоев из тех же материалов на частотах, близких к приведенной частоте  $\Omega_{*1} = 1$ .

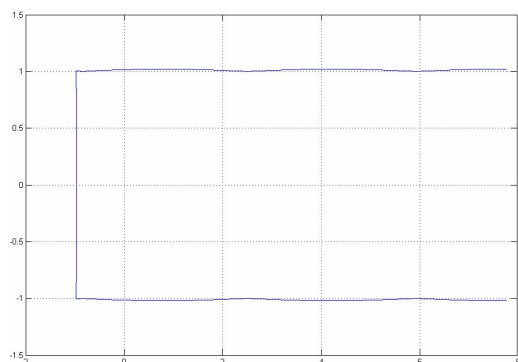


Рис. 5. Изотропный полуслой,  
 $\nu = 0.31$

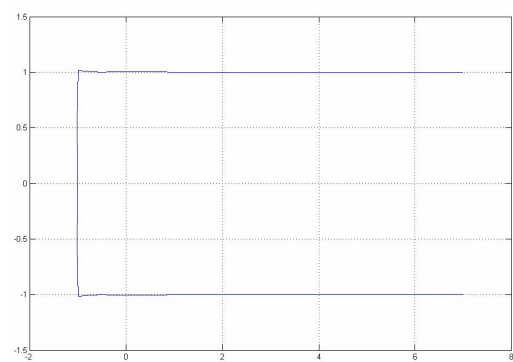


Рис. 6. Полуслой из керамики  $BaTiO_3$

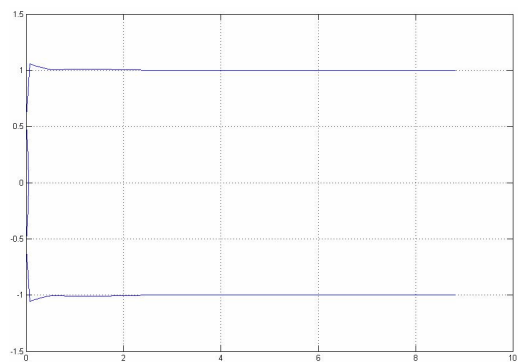


Рис. 7. Полуслой из  
монокристалла  $\beta$ -кварца

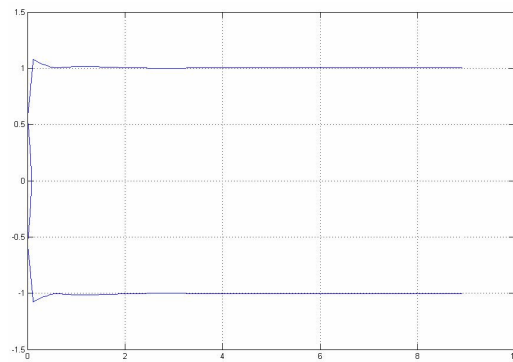


Рис. 8. Полуслой из монокристалла  $Co$

Таким образом, в работе впервые получены результаты, которые дают характе-

ристику некоторых аспектов явления краевого резонанса в трансверсально-изотропном упругом полуслое со свободными плоскими гранями. Прежде всего они дают основание заключить, что при всех варьируемых сочетаниях параметров полуслоя в нем имеет место явление краевого резонанса. Для рассчитанных значений приведенной частоты краевого резонанса  $\Omega_e$  не выявлено сколь либо выраженной связи с параметром  $\Delta$  волновой анизотропии материала полуслоя. Выявлены некоторые особенности в формах амплитудных колебаний приторцевой зоны трансверсально-изотропного полуслоя на частоте краевого резонанса.

1. *Гомилко А.М., Городецкая Н.С., Мелешко В.В.* О динамическом принципе Сен-Венана для упругой полуполосы // Теор. и прикл. мех. – Вища школа. – 1991. – Вып.22.– С.40.
2. *Гомилко А.М., Городецкая Н.С., Мелешко В.В.* Краевой резонанс при вынужденных изгибных колебаниях полуполосы // Акуст. журнал – 1991. – Вып.37, N5. – С.908-914.
3. *Гомилко А.М., Городецкая Н.С.* Краевой резонанс при вынужденных колебаниях волновода // XI Всесоюз. акуст. конференция. – 1991. – М. – С.127-130.
4. *Гомилко А.М., Гринченко В.Т., Мартыненко О.Н.* Краевой резонанс в полубесконечном жестко защемленном волноводе // Прикл. математика и механика. – 1991. – Вып.55, N6. – С.982-988.
5. *Городецкая Н.С.* Еще раз о краевом резонансе // Акуст. вестн. – 2000. – Т.3, N4. – С.35-44.
6. *Городецкая Н.С., Гринченко В.Т.* Анализ физических особенностей явления краевого резонанса в упругих телах // Акуст. вестн. – 2004. – Т.7, N1. – С.30-43.
7. *Гринченко В.Т., Городецкая И.С.* Об эффективности возбуждения краевой моды в упругой полуполосе // Прикл. механика. – 1998. – Вып.34, N2. –С.17-25.
8. *Гринченко В.Т., Городецкая И.С.* Краевой резонанс при изгибных колебаниях полуполосы // Докл. АН УССР. Сер.А. – 1985. – N4. – С.20-23.
9. *Гринченко В.Т., Мелешко В.В.* Гармонические колебания и волны в упругих телах. – Киев: Наук. думка, 1981. – 284с.
10. *Космодамианский А.С., Сторожев В.И.* Динамические задачи теории упругости для анизотропных сред. – Киев: Наук. думка, 1985. – 176с.
11. *Kaplunov J.D., Prikazchikov D.A., Rogerson G.A.* Edge vibration of a pre-stressed semi-infinite strip with traction-free edge and mixed face boundary conditions // Zeitschrift fur angewandte Mathematik und Physik. – 2004. – Vol.55, N4. – P.701-719.
12. *Torvik P.J.* Reflection of wave trains in semi-infinite plate. // J. Acoust. Soc. Amer. – 1967. – N41. – P.346-353.